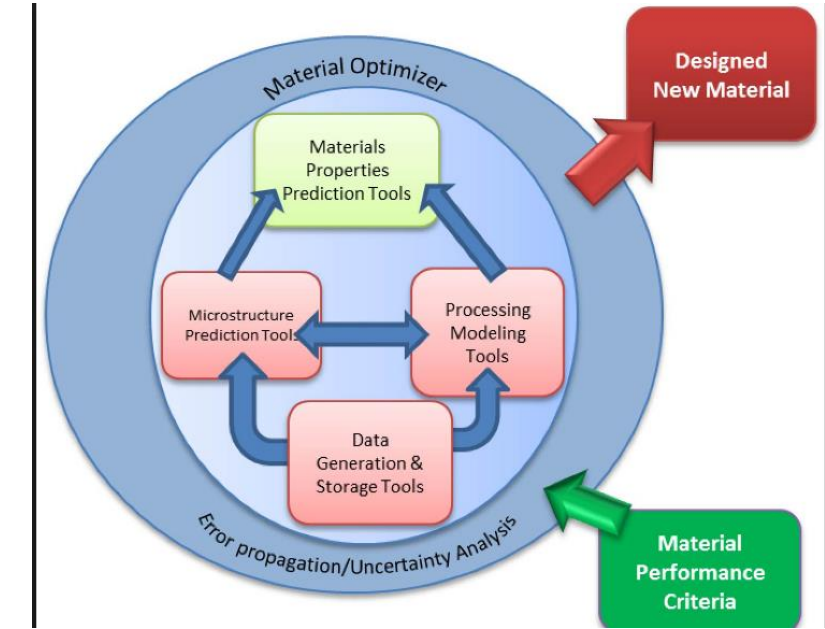
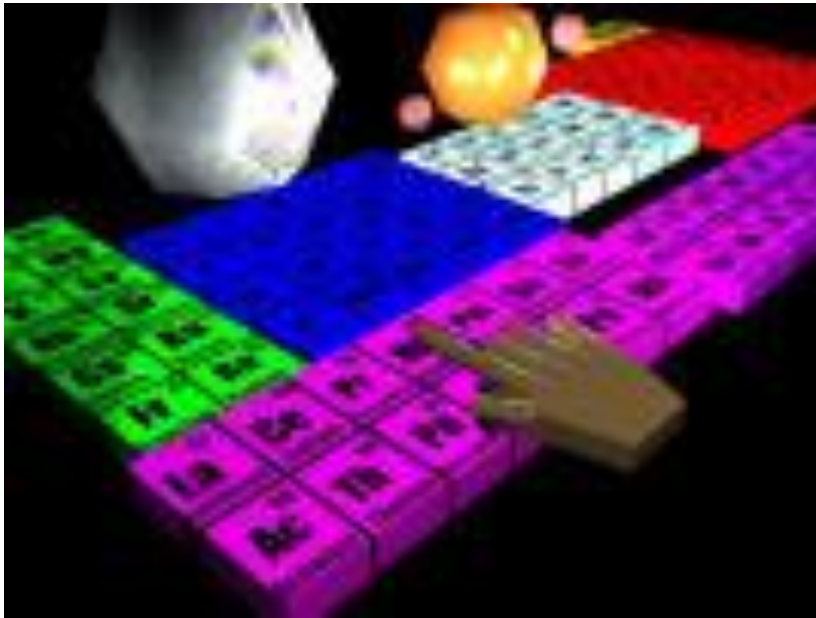


Curso de F-149 – 1S 2017

Desenvolvimento de Novos Materiais (Materials Design)

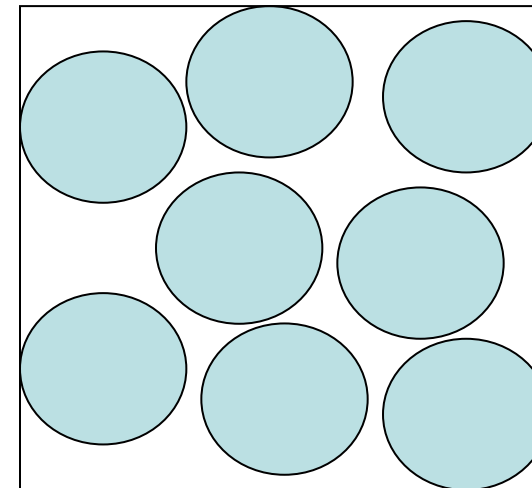
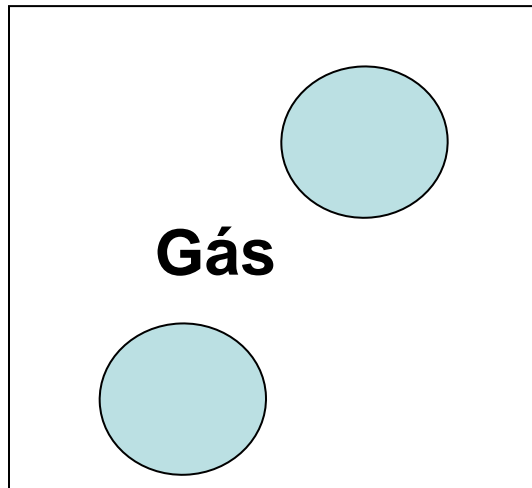


Aula 2

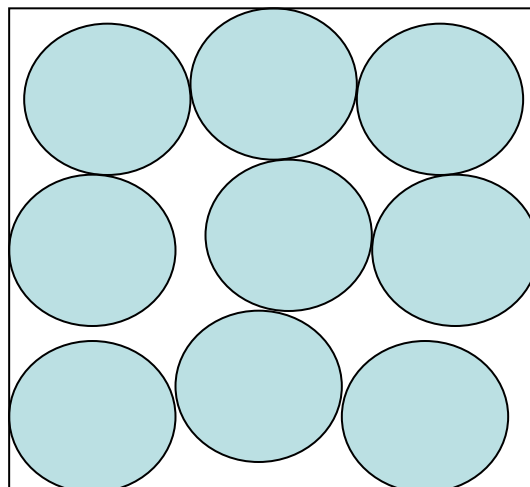
Estruturas Cristalinas e Propriedades Físicas

- Sólidos, Estruturas Cristalinas, grupos espaciais e pontuais
- Monocristais e Policristais
- Relação da estrutura com as propriedades Físicas: ex: estrutura eletrônica e Campo cristalino (magnetismo)
- Hábito de Crescimento
- Fator de tolerância
- Critérios experimentais de qualidade cristalina

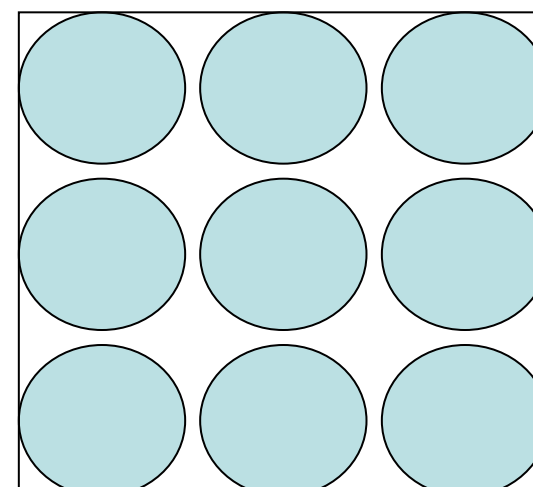
Estados da matéria:



Líquido



Sólido amorfo



Sólido cristalino

Quebra espontânea de simetria de translação

Estruturas Cristalinas

2.1 A Rede Cristalina

O primeiro conceito que vamos introduzir é o da *rede de Bravais*, que especifica a rede periódica na qual os átomos do cristal encontram-se ordenados. Duas definições são equivalentes (ver ref. 1):

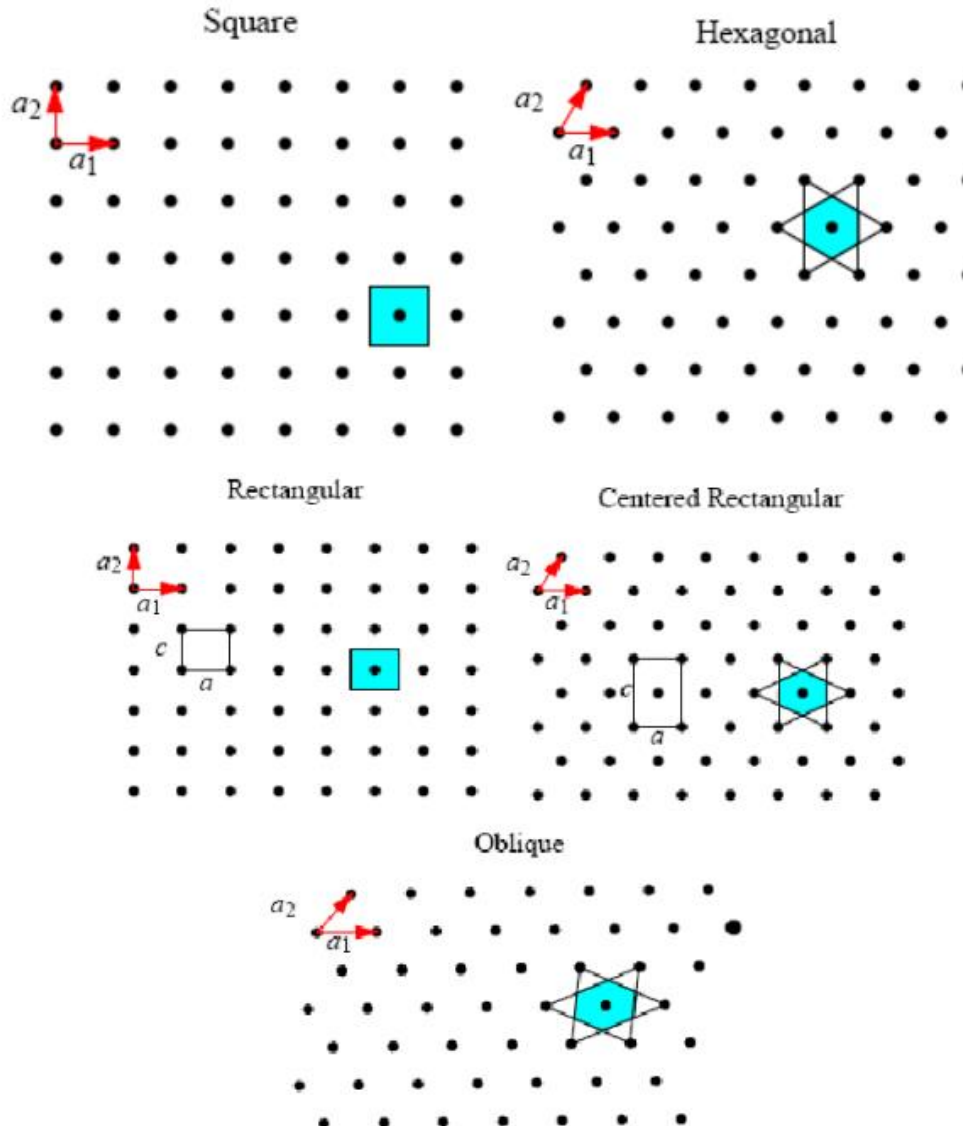
- (a) Uma rede de Bravais é um conjunto infinito de pontos discretos com um arranjo e orientação que aparece *exatamente* a mesma, independente dos pontos pelo qual a rede é observada.
- (b) Uma rede (tridimensional) de Bravais consiste em todos os pontos com vetores de posição \vec{R} ,

$$\vec{R} = n_1 \vec{a}_1 + n_2 \vec{a}_2 + n_3 \vec{a}_3 \quad (1)$$

onde \vec{a}_1 , \vec{a}_2 e \vec{a}_3 são quaisquer três vetores, não todos no mesmo plano, e n_1 , n_2 e n_3 assume quaisquer valores inteiros.

O conjunto de vetores \vec{a}_i da rede de Bravais são denominados *vetores primitivos* e tem a propriedade de *preencherem* todo o espaço. A escolha desses vetores não é única e sua escolha é feita sempre procurando simplificar ou melhor aproveitar as simetrias existentes

Estruturas Cristalinas



Na natureza:
Redes com *base*
(conjunto de
átomos, por
exemplo).

Figure 3: As cinco redes de Bravais bidimensionais. As respectivas partes sombreadas mostram as células primitivas de Wigner-Seitz e suas construções. Extraído da ref. 2.

Estruturas Cristalinas

Operações de simetria: rotações, reflexões, inversões, combinações destas, etc

Grupo pontual: utilizando apenas as operações de simetria que mantêm um ponto fixo e assumindo que os pontos da rede tem simetria eférica, podemos classificar as redes de Bravais em sete sistemas:

cúbica (3), tetragonal (2), ortorrômbica (4), monoclinico (2), triclinico (1), trigonal (1), e hexagonal (1).

Grupo espacial: se associarmos ao grupo pontual as operações de translação, obtemos 14 grupos espaciais (14 redes de Bravais):

- *cúbico (3):* cúbica simples (cs), cúbica de face-centrada (fcc), cúbica de corpo-centrado (bcc)
- *tebragonal (2):* prisma retangular com base quadrada (altura diferente da aresta do cubo)
 - *tetragonal simples* (formada a partir da cs)
 - *tetragonal centrada* (formada a partir da bcc ou fcc)

Estruturas Cristalinas

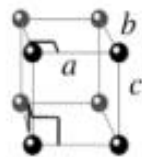
- *ortorrômbica* (4): deformando a base quadrada da tetragonal em um retângulo.
 - *tetragonal simples* → *ortorrômbica simples* (deformando um lado do quadrado) ou *ortorrômbica de base centrada* (deformando ao longo da diagonal do quadrado da base)
 - *tetragonal centrada* → *ortorrômbica de corpo centrado* (bcc) ou *ortorrômbica de face centrada* (fcc)
- *monoclínica* (2): distorcendo o retângulo da base da ortorrômbica em um paralelogramo qualquer
 - *ortorrômbica fcc ou bcc* → *monoclínica centrada*
 - *ortorrômbica simples* → *monoclínica simples*
- *triclínica* (1): inclinando o eixo da monoclinica
- *trigonal* (1): partindo do cubo e distorcendo-o ao longo da diagonal do cubo (romboédrica)
- *hexagonal* (1): prisma reto com base hexagonal

Estruturas Cristalinas

Cubic

$a=b=c$

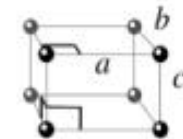
$\alpha=\beta=\gamma=90^\circ$



Tetragonal

$a=b \neq c$

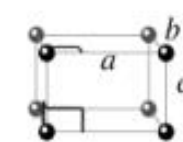
$\alpha=\beta=\gamma=90^\circ$



Orthorhombic

$a \neq b \neq c$

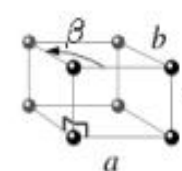
$\alpha=\beta=\gamma=90^\circ$



Monoclinic

$a \neq b \neq c$

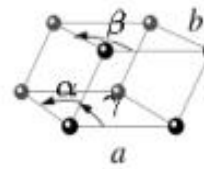
$\alpha=\gamma=90^\circ$
 $\beta \neq 90^\circ$



Triclinic

$a \neq b \neq c$

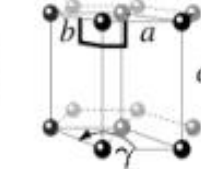
$\alpha, \beta, \gamma \neq 90^\circ$



Hexagonal

$a=b \neq c$

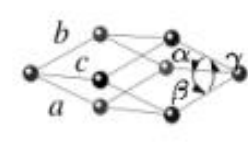
$\alpha=\beta=90^\circ$
 $\gamma = 120^\circ$



Rhombohedral

$a=b=c$

$\alpha=\beta=\gamma \neq 90^\circ$

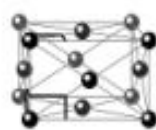
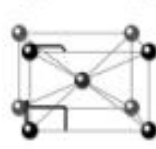
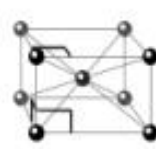
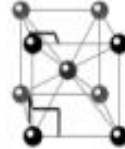


Simple

Base-Centered

Body-Centered

Face-Centered



Alta simetria

Fenômenos mais complexos



Baixa simetria

Estruturas Cristalinas - Magnetismo

Classificação do Materiais Magnéticos

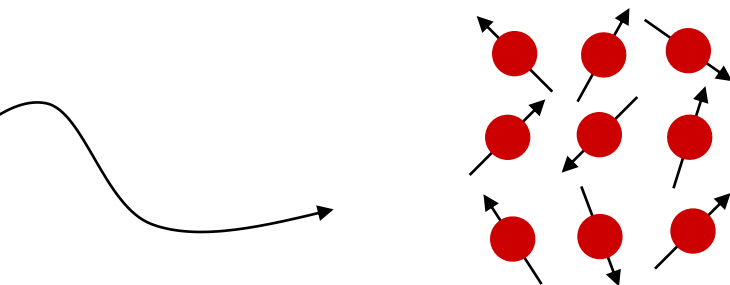
- Origem dos momentos magnéticos
- Tipo de interação entre os momentos

- Magnetismo Fraco

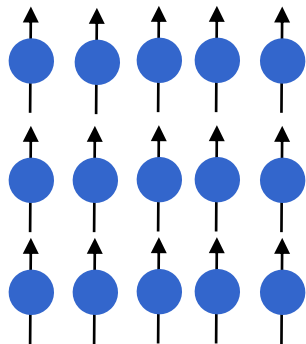
- Diamagnetos
 - Paramagnetos

- Magnetismo Forte

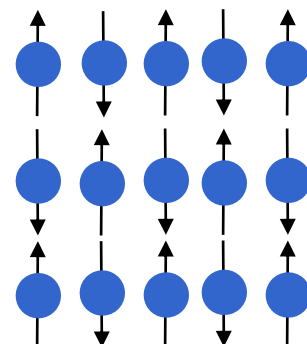
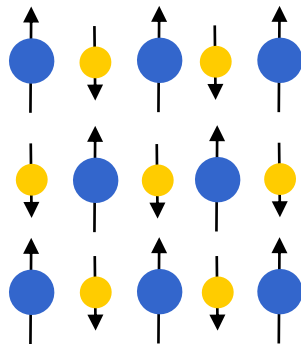
- Materiais Ordenados:



- Ferromagnéticos

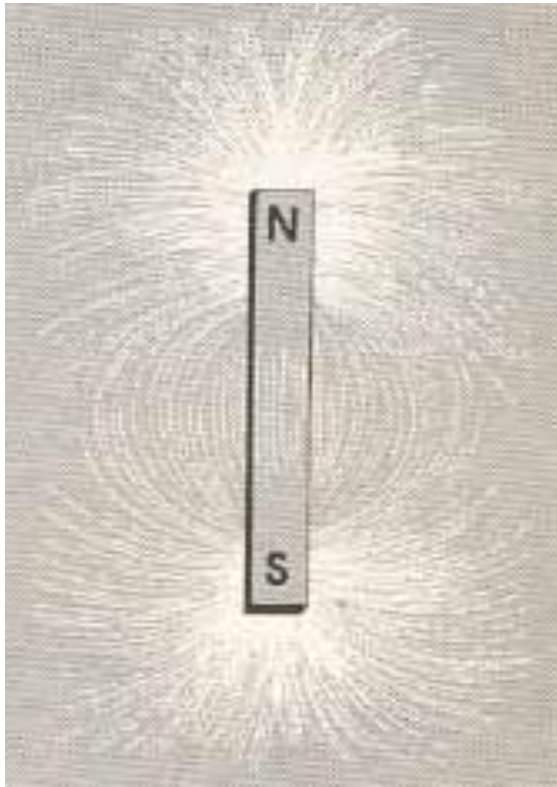


- Antiferromagnéticos

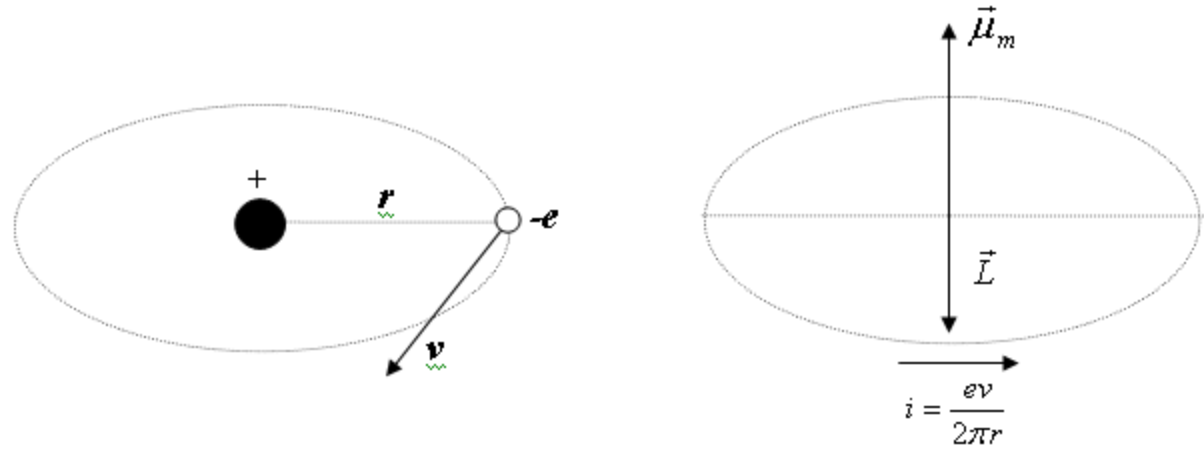


- Ferrimagnéticos

Magnetismo na matéria



1) Correntes atômicas???

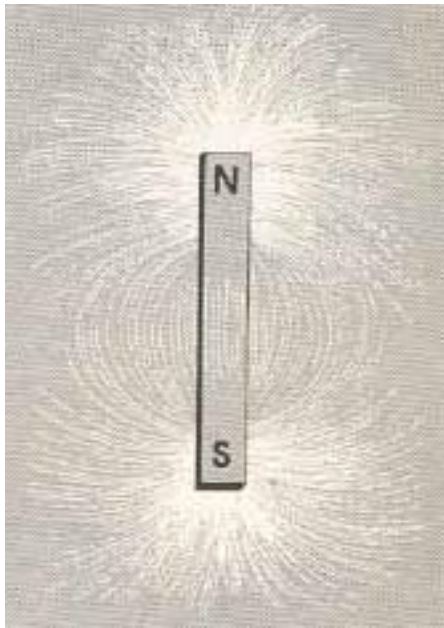


$$i = \frac{q}{t} = \frac{ev}{2\pi r} \quad \mu_m = i\pi r^2 \quad \mu_m = \frac{evr}{2}$$

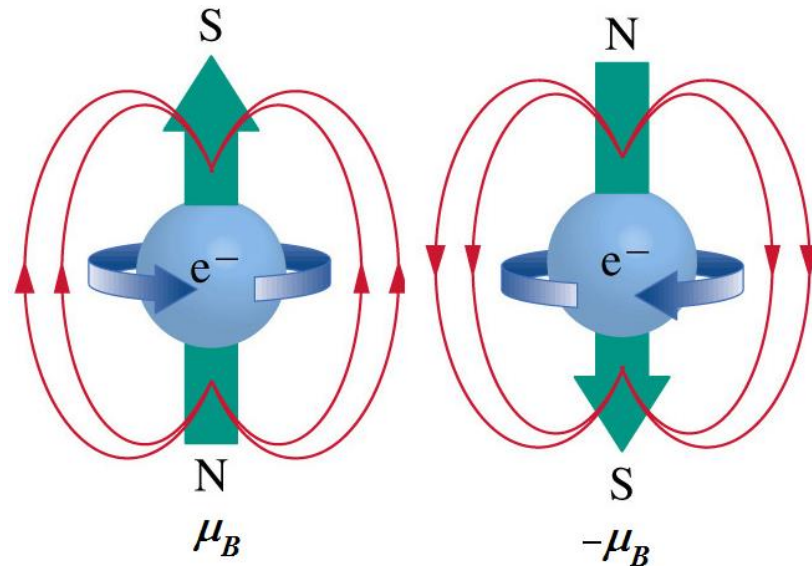
$$\vec{\mu}_m = -\frac{e}{2m} \vec{L}$$

A constante de proporcionalidade $-e/2m$ é conhecida como razão *giromagnética* orbital e representa a capacidade de se converter momento angular orbital em momento magnético.

Magnetismo na matéria



2) Cada elétron possui um momento magnético intrínseco???



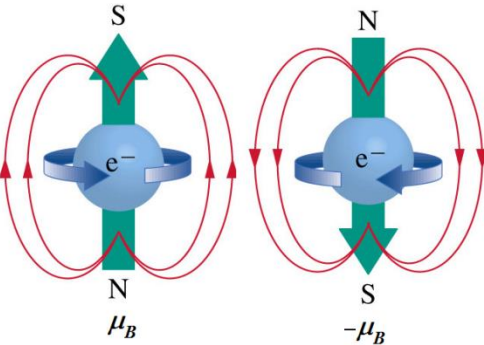
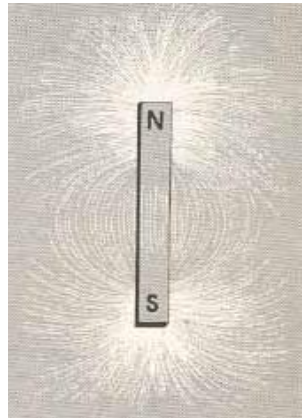
$$\vec{\mu}_e = -\frac{e}{m} \vec{S}$$

Stern e Gerlach obtiveram experimentalmente valores discretos para a componente do spin eletrônico.

$$S_z = \pm \frac{1}{2} \hbar \quad \mu_e = \pm \frac{e\hbar}{2m_e} = 9,27 \times 10^{-24} \text{ J/T.} \quad \vec{\mu}_e = -g\mu_B \vec{S}$$

A constante g é conhecida como fator g do spin e g = 2 para o elétron livre.

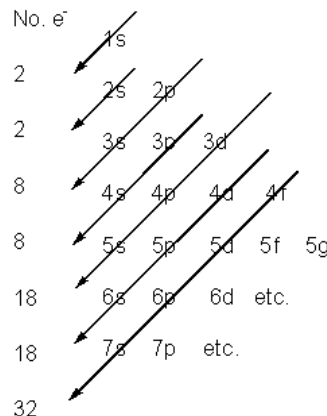
Magnetismo na matéria



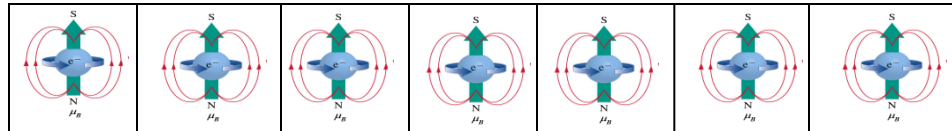
3) Materiais com número ímpar de elétrons podem ser magnéticos.???

Fe ($Z=26$), Ni($Z=27$) e Co($Z=28$) – possuem elétrons desemparelhados na camada 3d

Gd e Dy – possuem elétrons desemparelhados na camada 4f.



$Gd^{3+} - (4f^7)$



$S = 7/2$

Estruturas Cristalinas - Magnetismo

Classificação do Materiais Magnéticos

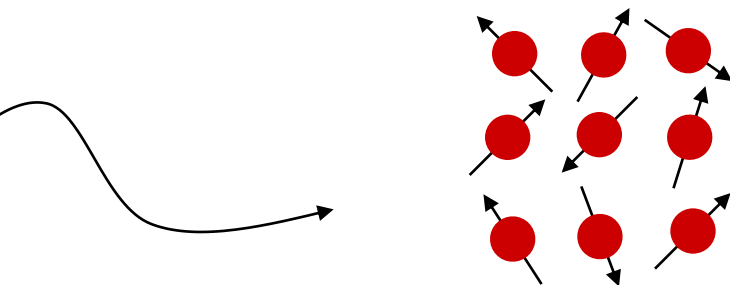
- Origem dos momentos magnéticos
- Tipo de interação entre os momentos

- Magnetismo Fraco

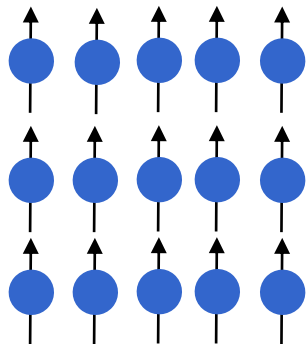
- Diamagnetos
 - Paramagnetos

- Magnetismo Forte

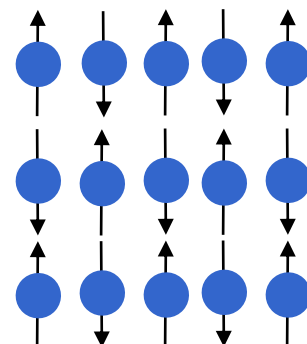
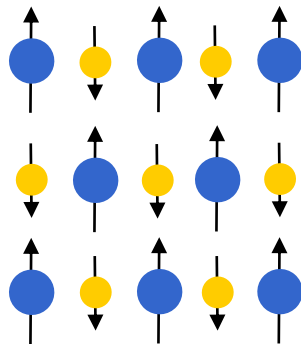
- Materiais Ordenados:



- Ferromagnéticos

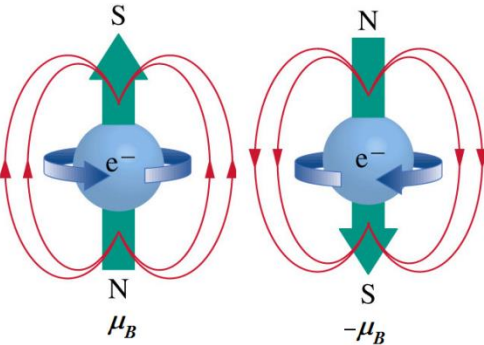
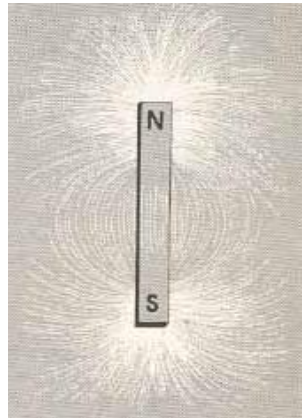


- Antiferromagnéticos



- Ferrimagnéticos

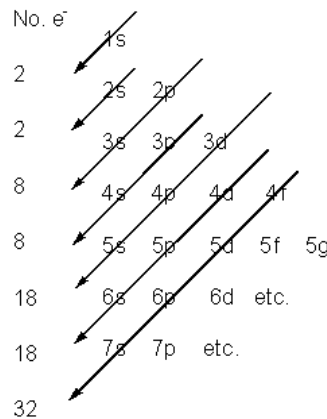
Magnetismo na matéria



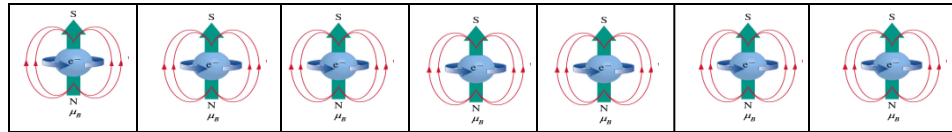
3) Materiais com número ímpar de elétrons podem ser magnéticos.???

Fe ($Z=26$), Ni($Z=27$) e Co($Z=28$) – possuem elétrons desemparelhados na camada 3d

Gd e Dy – possuem elétrons desemparelhados na camada 4f.



$Gd^{3+} - (4f^7)$



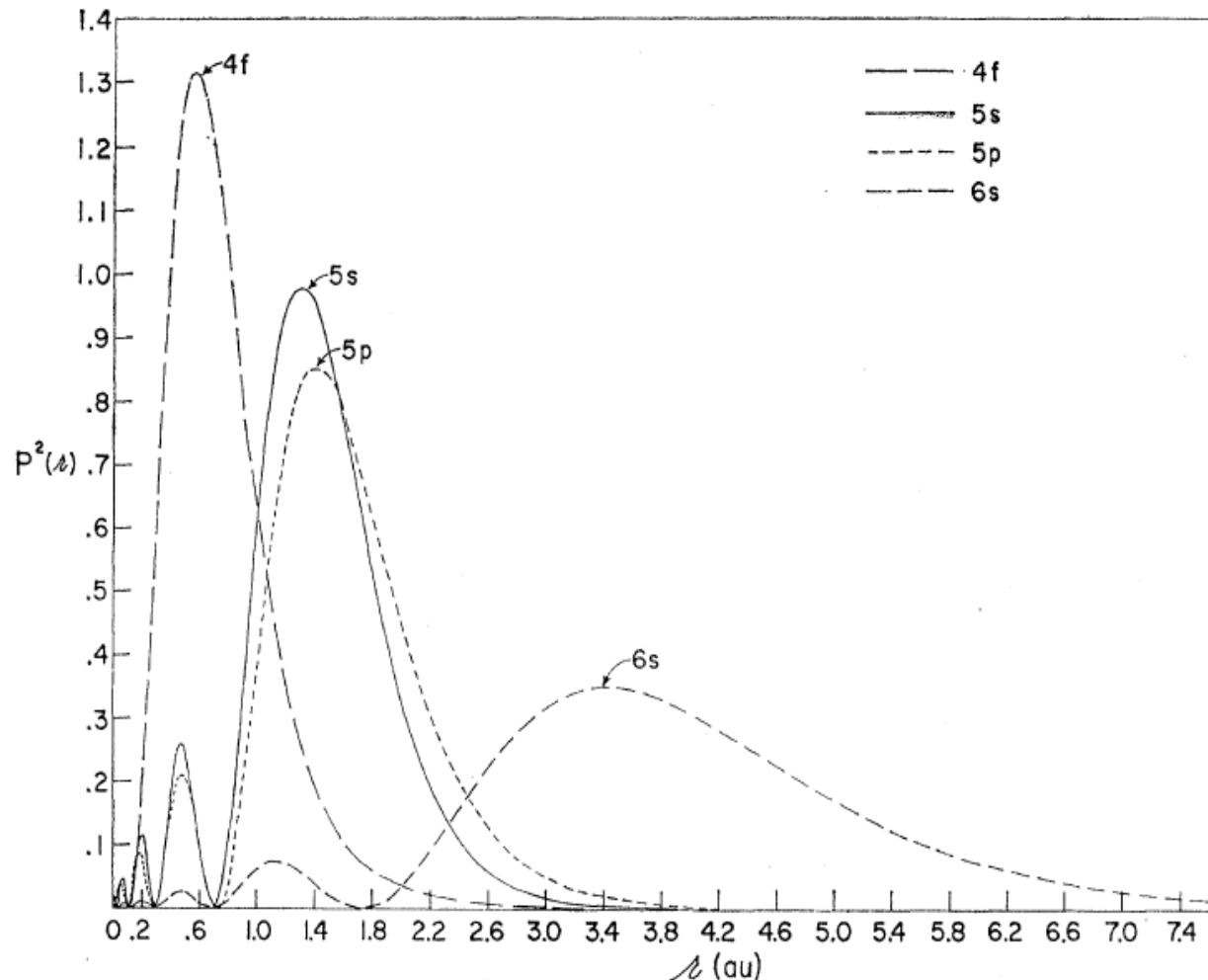
$S = 7/2$

• Íons de Terras Raras

Z	R	R^{3+}	Raio Iônico	
La	57	[Xe]5d ¹ 6s ²	[Xe]5s ² 5p ⁶	1.061
Ce	58	[Xe]4f ² 6s ²	[Xe]4f ¹ 5s ² 5p ⁶	1.034
Pr	59	[Xe]4f ³ 6s ²	[Xe]4f ² 5s ² 5p ⁶	1.013
Nd	60	[Xe]4f ⁴ 6s ²	[Xe]4f ³ 5s ² 5p ⁶	0.995
Pm	61	[Xe]4f ⁵ 6s ²	[Xe]4f ⁴ 5s ² 5p ⁶	0.979
Sm	62	[Xe]4f ⁶ 6s ²	[Xe]4f ⁵ 5s ² 5p ⁶	0.964
Eu	63	[Xe]4f ⁷ 6s ²	[Xe]4f ⁶ 5s ² 5p ⁶	0.950
Gd	64	[Xe]4f ⁷ 5d ¹ 6s ²	[Xe]4f ⁷ 5s ² 5p ⁶	0.938
Tb	65	[Xe]4f ⁹ 6s ²	[Xe]4f ⁸ 5s ² 5p ⁶	0.923
Dy	66	[Xe]4f ¹⁰ 6s ²	[Xe]4f ⁹ 5s ² 5p ⁶	0.908
Ho	67	[Xe]4f ¹¹ 6s ²	[Xe]4f ¹⁰ 5s ² 5p ⁶	0.894
Er	68	[Xe]4f ¹² 6s ²	[Xe]4f ¹¹ 5s ² 5p ⁶	0.881
Tm	69	[Xe]4f ¹³ 6s ²	[Xe]4f ¹² 5s ² 5p ⁶	0.869
Yb	70	[Xe]4f ¹⁴ 6s ²	[Xe]4f ¹³ 5s ² 5p ⁶	0.858
Lu	71	[Xe]4f ¹⁴ 5d ¹ 6s ²	[Xe]4f ¹⁴ 5s ² 5p ⁶	0.848

- ✓ Propriedades químicas semelhantes;
- ✓ Fascinantes propriedades magnéticas;
- ✓ Camada 4f parcialmente preenchida;
- ✓ Em sólidos geralmente apresentam valência 3+;
- ✓ Interação de campo cristalino fraca;
- ✓ Interação spin-órbita para o elétrons 4f é maior que as outras interações;

• Íons de Terras Raras



Densidade de carga radial para os elétrons $4f$, $5s$, $5p$ e $6s$ do Gd^{3+}

[A. J. Freeman e R. E. Watson, *Phys. Rev.* **182**, 2058 (1969).]

✓ Elétrons $4f$ encontram-se bem localizados no interior do íon e são blindados pelas camadas externas.

• Íons de Terras Raras

- Para os íons de terra rara livres, as três interações dominantes são, em ordem de magnitude:
 - i) Repulsão Coulombiana entre elétrons
 - ii) Interação spin-órbita
 - iii) Interações hiperfinas nuclear e de quadrupolo

• Íons de Terras Raras

- Hamiltoniana para um íon de terra rara livre.

$$H = \sum_k \frac{\mathbf{P}_k^2}{2m} + \left(\sum_{j < k} \frac{e^2}{r_{jk}} - \sum_k \frac{Ze^2}{r_k} \right) + (\lambda \mathbf{L} \cdot \mathbf{S}) + \dots$$

- ✓ O primeiro termo deve-se a energia cinética dos elétrons;
- ✓ O segundo termo é a interação Coulombiana dos elétrons com os elétrons e com o núcleo;
- ✓ O terceiro termo é a interação spin-órbita.

• Íons de Terras Raras

- Interação spin-órbita

$$H_{SO} = \lambda \mathbf{L} \cdot \mathbf{S}$$

- ✓ Representa o acoplamento magnético entre o spin do elétron e o campo magnético originado do movimento orbital relativo entre o núcleo e o elétron.
- ✓ Considerando que a interação spin-órbita é suficientemente grande, o momento angular total é dado pelo acoplamento entre L e S, descrito pelo número quântico J.

$$\mathbf{J} = \mathbf{L} + \mathbf{S}$$

• Íons de Terras Raras

➤ Nível fundamental dado pela regra de Hund:

i) O valor do spin total S é o maior valor permitido pelo princípio de exclusão.

ii) O valor do momento angular orbital total L é o maior valor compatível com o valor de S obtido no item anterior.

iii) O valor do momento angular total J é igual a $|L - S|$ se menos de metade da camada estiver ocupada e igual a $L + S$ se mais de metade da camada estiver ocupada. Quando exatamente metade da camada está ocupada, a aplicação das duas primeiras regras leva a $L = 0$ e, portanto, $J = S$.

f-shell ($l = 3$)			S	$L = \sum l_z $	J		
n	$l_z = 3, 2, 1, 0, -1, -2, -3$						
1	Ce	↓		1/2	3	$5/2 \leftarrow$	$^2F_{5/2}$
2	Pr	↓	↓		1	5	3H_4
3	Nd	↓	↓	↓	3/2	6	$^4I_{9/2}$
4	Pm	↓	↓	↓	2	6	5I_4
5	Sm	↓	↓	↓	5/2	5	$^6H_{5/2}$
6	Eu	↓	↓	↓	3	3	7F_0
7	Gd	↓	↓	↓	7/2	0	$^8S_{7/2}$
8	Tb	↑	↑	↑	3	3	7F_6
9		↑	↑	↑	5/2	5	$^6H_{15/2}$
10	Dy	↑	↑	↑	2	6	5I_8
11	Ho	↑	↑	↑	3/2	6	$^4I_{15/2}$
12	Er	↑	↑	↑	1	5	3H_6
13	Tm	↑	↑	↑	1/2	3	$^2F_{7/2}$
14	Yb	↑	↑	↑	0	0	1S_0

^a↑ = spin $\frac{1}{2}$; ↓ = spin $-\frac{1}{2}$.

$(2S+1)X^J$ Estado Fundamental:

L = 0 1 2 3 4 5 6

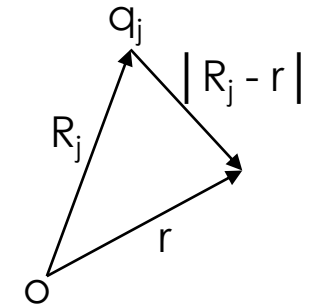
X = S P D F G H I

• Efeitos do Campo Cristalino (CEF)

✓ Propriedades físicas dos intermetálicos de terras raras são significativamente influenciadas pela interação de campo cristalino;

Potencial eletrostático em um ponto (r, θ, ϕ) próximo a origem devido aos íons da vizinhança:

$$V(r, \theta, \phi) = \sum_j \frac{q_j}{|(\mathbf{R}_j - \mathbf{r})|}$$



Se o íon magnético tem carga q_i em (r_i, θ_i, ϕ_i) , então a energia eletrostática devido ao potencial perturbador, V , é:

$$H_C = W_C = \sum_i q_i V_i = \sum_i \sum_j \frac{q_i q_j}{|(\mathbf{R}_j - \mathbf{r}_i)|}$$

- **Efeitos do Campo Cristalino (CEF)**

Podemos expandir $\frac{1}{|\vec{R}_j - \vec{r}|}$ em termos dos harmônicos esféricos, a fim de obter o potencial eletrostático com simetria esférica:

$$\frac{1}{|(\mathbf{R} - \mathbf{r})|} = \sum_{n=0}^{\infty} \frac{r^n}{R^{(n+1)}} P_n^0(\cos\omega) \quad \text{e} \quad \omega \text{ é o ângulo entre } \mathbf{R} \text{ e } \mathbf{r}.$$

Sendo

,

$$P_n^0(\cos\omega) = \frac{4\pi}{(2n+1)} \sum_{m=-n}^{+n} (-1)^m Y_n^{-m}(\theta_j, \varphi_j) Y_n^m(\theta_i, \varphi_i)$$

• Efeitos do Campo Cristalino (CEF)

Para evitar o uso de quantidades imaginárias, definimos harmônicos tesselares como:

$$Z_{n0} = Y_n^0$$

$$Z_{nm}^c = \left[\frac{(2n+1)}{2} \frac{(n-m)!}{(n+m)!} \right]^{\frac{1}{2}} P_n^m(\cos \theta) \frac{\cos m\varphi}{\sqrt{\pi}}$$

$$Z_{nm}^s = \left[\frac{(2n+1)}{2} \frac{(n-m)!}{(n+m)!} \right]^{\frac{1}{2}} P_n^m(\cos \theta) \frac{\sin m\varphi}{\sqrt{\pi}}$$

Então, a partir do teorema da adição dos harmônicos esféricos, temos:

$$P_n^0(\cos \omega) = \frac{4\pi}{(2n+1)} \sum_{\alpha} Z_{n\alpha}(\mathbf{r}) Z_{n\alpha}(\mathbf{R})$$

• Efeitos do Campo Cristalino (CEF)

Assim, o potencial pode ser escrito como:

$$V(r, \theta, \varphi) = q_j \sum_{n=0}^{\infty} \frac{r^n}{R_j^{(n+1)}} \left[\sum_{\alpha} \frac{4\pi}{(2n+1)} Z_{n\alpha}(\theta_j, \varphi_j) Z_{n\alpha}(\theta, \varphi) \right]$$

e para cargas k ,

$$V(r, \theta, \varphi) = \sum_{n=0}^{\infty} \sum_{\alpha} r^n \gamma_{n\alpha} Z_{n\alpha}(\theta, \varphi)$$

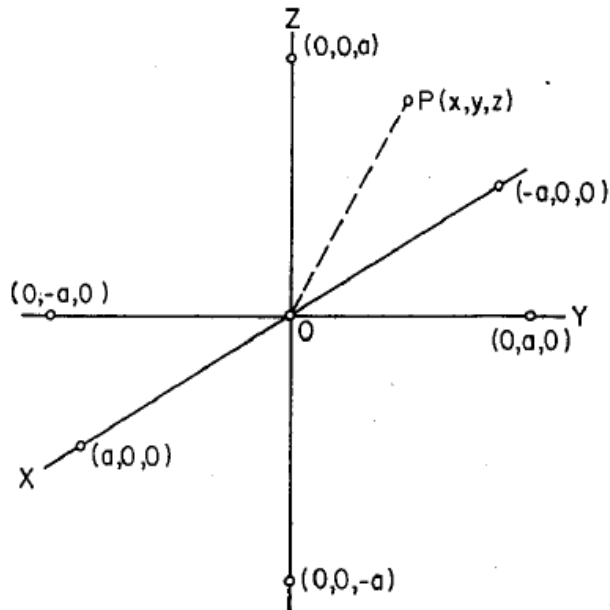
Sendo,

$$\gamma_{n\alpha} = \sum_{j=1}^k \frac{4\pi}{(2n+1)} q_j \frac{Z_{n\alpha}(\theta_j, \varphi_j)}{R_j^{(n+1)}}$$

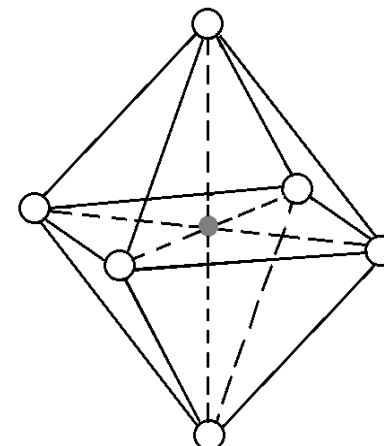
• Efeitos do Campo Cristalino (CEF)

Cálculo do potencial cristalino cúbico perto de um íon magnético como origem para três configurações de cargas dando um campo cristalino cúbico:

- 1) Quando as cargas estão dispostas nos cantos de um octaedro;
- 2) Quando as cargas estão dispostas nos cantos de um cubo;
- 3) Quando as cargas estão dispostas nos cantos de um tetraedro.



M. T. Hutchings, *Solid State Physics*
16, 227-273 (1964)



Configuração de cargas
dispostas nos vértices de um
octaedro

• Efeitos do Campo Cristalino (CEF)

Caso 1)

Os íons vizinhos estão nas posições (r, θ, ϕ) de $(a, 0, 0)$; $(a, \pi, 0)$; $(a, \pi/2, 0)$; $(a, \pi/2, \pi)$; $(a, \pi/2, \pi/2)$ e $(a, \pi/2, 3\pi/2)$.

A simetria cúbica do campo cristalino limita o número de termos na expansão do potencial, conforme as regras descritas abaixo:

- a) Todos termos com $n > 2l$, onde l é o momento orbital do elétron magnético, desaparecem.
- b) Operadores da forma Z_{nm} têm elementos de matriz zero entre dois estados $\phi_{l'} e \phi_{l''}$, a menos que $l' + l'' + n = \text{par}$.
- c) Operadores da forma Z_{nm} têm elementos de matriz zero entre dois estados $\phi_{l',m'} e \phi_{l'',m''}$, a menos que $m = |m' - m''|$.

• Efeitos do Campo Cristalino (CEF)

Portanto, os únicos termos necessários para a expansão do potencial são:

$$Z_{00} = \frac{1}{2\sqrt{\pi}}$$

$$Z_{40} = \frac{3}{16\sqrt{\pi}} (35\cos^4\theta - 30\cos^2\theta + 3)$$

$$Z_{60} = \frac{1}{32} \left(\frac{13}{\pi} \right)^{\frac{1}{2}} (231\cos^6\theta - 315\cos^4\theta + 105\cos^2\theta - 5)$$

$$Z_{44}^c = \frac{3}{16} \left(\frac{35}{\pi} \right)^{\frac{1}{2}} \sin^4\theta \cos 4\varphi$$

$$Z_{64}^c = \frac{3}{32} \left(\frac{91}{\pi} \right)^{\frac{1}{2}} (11\cos^2\theta - 1) \sin^4\theta \cos 4\varphi$$

• Efeitos do Campo Cristalino (CEF)

Temos que:

$$\gamma_{n\alpha} = \sum_{j=1}^k \frac{4\pi}{(2n+1)} q_j \frac{Z_{n\alpha}(\theta_j, \phi_j)}{R_j^{(n+1)}} \quad \begin{matrix} (a, 0, 0); (a, \pi, 0); (a, \pi/2, 0); (a, \pi/2, \pi); (a, \pi/2, \pi/2) \\ \pi/2 \end{matrix}$$

Os termos não nulos encontrados são:

$$\begin{array}{lll} \gamma_{00} = 12\sqrt{\pi} \frac{q}{a} & \gamma_{40} = \frac{7\sqrt{\pi}}{3} \frac{q}{a^5} & \gamma_{60} = \frac{3}{2} \left(\frac{\pi}{13} \right)^{\frac{1}{2}} \frac{q}{a^7} \\ \gamma_{44}^c = \frac{(35\pi)^{\frac{1}{2}}}{3} \frac{q}{a^5} & \gamma_{64}^c = -\frac{3}{2} \left(\frac{7\pi}{13} \right)^{\frac{1}{2}} \frac{q}{a^7} & \end{array}$$

- **Efeitos do Campo Cristalino (CEF)**

$$V(r, \theta, \phi) = \sum_{n=0}^{\infty} \sum_{\alpha} r^n \gamma_{n\alpha} Z_{n\alpha}(\theta, \phi)$$

Descartando o termo Z_{00} por ser uma constante, temos:

$$V(r, \theta, \phi) = r^4 \gamma_{40} Z_{40} + r^4 \gamma_{44}^c Z_{44}^c + r^6 \gamma_{60} Z_{60} + r^6 \gamma_{64}^c Z_{64}^c$$

Reescrevendo $V(r, \theta, \phi)$:

$$V(r, \theta, \phi) = D_4^{\cdot} \left(Z_{40} + \sqrt{\frac{5}{7}} Z_{44}^c \right) + D_6^{\cdot} \left(Z_{60} - \sqrt{7} Z_{64}^c \right)$$

Onde,

$$D_4^{\cdot} = \frac{7}{3} \sqrt{\pi} \frac{q}{a^5} r^4$$

$$D_6^{\cdot} = \frac{3}{29} \frac{1}{2} \left(\frac{\pi}{13} \right)^{\frac{1}{2}} \frac{q}{a^7} r^6$$

Caso ii):

$$V(r, \theta, \phi) = D_4'' \left(Z_{40} + \sqrt{\frac{5}{7}} Z_{44}^c \right) + D_6'' \left(Z_{60} - \sqrt{7} Z_{64}^c \right)$$

Caso iii):

$$V(r, \theta, \phi) = D_4''' \left(Z_{40} + \sqrt{\frac{5}{7}} Z_{44}^c \right) + D_6''' \left(Z_{60} - \sqrt{7} Z_{64}^c \right)$$

Resumindo, temos que a energia potencial para uma carga q' em (r, θ, φ) em um potencial devido a cargas q , a distâncias R da origem ($R > r$), é dada por:

$$W_c = D_4 \left(Z_{40} + \sqrt{\frac{5}{7}} Z_{44}^c \right) + D_6 \left(Z_{60} - \sqrt{7} Z_{64}^c \right)$$

Tipo de coordenação	D_4	D_6
Octaedro	$+ \frac{7}{3} \sqrt{\pi} \frac{qq'r^4}{R^5}$	$+ \frac{3}{2} \sqrt{\frac{\pi}{13}} \frac{qq'r^6}{R^7}$
Cubo	$- \frac{56}{27} \sqrt{\pi} \frac{qq'r^4}{R^5}$	$+ \frac{32}{9} \sqrt{\frac{\pi}{13}} \frac{qq'r^6}{R^7}$
Tetraedro	$- \frac{28}{27} \sqrt{\pi} \frac{qq'r^4}{R^5}$	$+ \frac{16}{9} \sqrt{\frac{\pi}{13}} \frac{qq'r^6}{R^7}$

• Efeitos do Campo Cristalino (CEF)

Hamiltoniano de campo cristalino cúbico

$$W_c = \sum_i q_i V_i$$

$$H_c = W_c = -|e| \sum_i V(r_i, \theta_i, \phi_i)$$

Onde, $q_i = -|e|$ e a soma é sobre os elétrons magnéticos.

Seja, $q' = -|e|$; $D_4^* = D_4/r^4$ e $D_6^* = D_6/r^6$:

$$H_c = D_4^* \left(r^4 Z_{40} + \sqrt{\frac{5}{7}} r^4 Z_{44}^c \right) + D_6^* \left(r^6 Z_{60} - \sqrt{7} r^6 Z_{64}^c \right)$$

• Efeitos do Campo Cristalino (CEF)

$$Z_{20} = \frac{1}{4} \left(\frac{5}{\pi} \right)^{\frac{1}{2}} [(3z^2 - r^2)/r^2]$$

$$Z_{c22} = \frac{1}{4} \left(\frac{15}{\pi} \right)^{\frac{1}{2}} [(x^2 - y^2)/r^2]$$

$$Z_{40} = \frac{3}{16} \left(\frac{1}{\pi^{\frac{1}{2}}} \right) [(35z^4 - 30z^2r^2 + 3r^4)/r^4]$$

$$Z_{c42} = \frac{3}{8} \left(\frac{5}{\pi} \right)^{\frac{1}{2}} [(7z^2 - r^2)(x^2 - y^2)/r^4]$$

$$Z_{c48} = \frac{3}{8} \left(\frac{70}{\pi} \right)^{\frac{1}{2}} [z(x^3 - 3xy^2)/r^4]$$

$$Z_{c43} = \frac{3}{8} \left(\frac{70}{\pi} \right)^{\frac{1}{2}} [z(3x^2y - y^3)/r^4]$$

$$Z_{c44} = \frac{3}{16} \left(\frac{35}{\pi} \right)^{\frac{1}{2}} [(x^4 - 6x^2y^2 + y^4)/r^4]$$

$$Z_{s44} = \frac{3}{16} \left(\frac{35}{\pi} \right)^{\frac{1}{2}} [4(x^3y - y^3x)/r^4]$$

$$Z_{60} = \frac{1}{32} \left(\frac{13}{\pi} \right)^{\frac{1}{2}} [(231z^6 - 315z^4r^2 + 105z^2r^4 - 5r^6)/r^6]$$

$$Z_{c62} = \frac{1}{64} \left(\frac{2730}{\pi} \right)^{\frac{1}{2}} [(16z^4 - 16(x^2 + y^2)z^2 + (x^2 + y^2)^2)(x^2 - y^2)/r^6]$$

$$Z_{c68} = \frac{1}{32} \left(\frac{2730}{\pi} \right)^{\frac{1}{2}} [(11z^3 - 3zr^2)(x^3 - 3xy^2)/r^6]$$

$$Z_{c64} = \frac{21}{32} \left(\frac{13}{7\pi} \right)^{\frac{1}{2}} [(11z^2 - r^2)(x^4 - 6x^2y^2 + y^4)/r^6]$$

$$Z_{c66} = \frac{231}{64} \left(\frac{26}{231\pi} \right)^{\frac{1}{2}} [(x^6 - 15x^4y^2 + 15x^2y^4 - y^6)/r^6]$$

Para reescrever o Hamiltoniano em termos dos operadores equivalentes escrevemos $r^4 Z_{4m}^c$ e $r^6 Z_{6m}^c$ em coordenadas cartesianas usando os valores de Z_{nm}^c mostrados acima.

• Efeitos do Campo Cristalino (CEF)

Aplica-se o teorema de Wigner-Eckart, que permite escrever os operadores cartesianos em operadores de momento angular.

Substituindo $\rightarrow x, y$ e z por J_x, J_y e J_z considerando as relações de comutação de J_x, J_y e J_z , obtemos o operador equivalente que mantém as mesmas propriedades sob transformações de rotações que o potencial.

Alguns exemplos são:

$$\sum_i (3z_i^2 - r_i^2) = \alpha \langle r^2 \rangle [3J_z^2 - J(J+1)] = \alpha \langle r^2 \rangle O_2^0$$

$$\sum_i (x_i^2 - y_i^2) = \alpha \langle r^2 \rangle [J_x^2 - J_y^2] = \alpha \langle r^2 \rangle O_2^2$$

$$\sum_i (x_i^4 - 6x_i^2y_i^2 + y_i^4) = \sum_i \frac{1}{2} [(x_i + iy_i)^4 + (x_i - iy_i)^4] \equiv \beta \langle r^4 \rangle \frac{1}{2} [J_+^4 + J_-^4] = \beta \langle r^4 \rangle O_4^4$$

Onde, $J_{\pm} = J_x \pm iJ_y$

• Efeitos do Campo Cristalino (CEF)

Temos então:

$$r^4 Z_{40} = \frac{3}{16} \left(\frac{1}{\pi} \right)^{\frac{1}{2}} \beta \langle r^4 \rangle O_4^0$$

$$r^4 Z_{44}^c = \frac{3}{16} \left(\frac{35}{\pi} \right)^{\frac{1}{2}} \beta \langle r^4 \rangle O_4^4$$

$$r^6 Z_{60} = \frac{1}{32} \left(\frac{13}{\pi} \right)^{\frac{1}{2}} \gamma \langle r^6 \rangle O_6^0$$

$$r^6 Z_{64}^c = \frac{21}{32} \left(\frac{13}{7\pi} \right)^{\frac{1}{2}} \gamma \langle r^6 \rangle O_6^4$$

β é uma constante para termos de quarta ordem e γ para termos de sexta ordem que dependem de J , e são tabelados.

Sendo os valores de O_n^m tabelados:

$$O_4^0 = [35J_z^4 - 30J(J+1)J_z^2 - 25J_z^2 - 6J(J+1) + 3J^2(J+1)^2]$$

$$O_4^4 = \frac{1}{2} [J_+^4 + J_-^4]$$

$$O_6^0 = [231J_z^6 - 315J(J+1)J_z^4 + 735J_z^4 + 105J^2(J+1)^2J_z^2 - 525J(J+1)J_z^2 + 294J_z^2 - 5J^3(J+1)^3 + 40J^2(J+1)^2 - 60J(J+1)]$$

$$O_6^4 = \frac{1}{4} [(11J_z^2 - J(J+1) - 38)(J_+^4 + J_-^4) + (J_+^4 + J_-^4)(11J_z^2 - J(35) - 38)]$$

• Efeitos do Campo Cristalino (CEF)

Logo,

$$H_c = \frac{3}{16} \left(\frac{1}{\pi} \right)^{\frac{1}{2}} D_4^* \beta \langle r^4 \rangle \left(O_4^0 + 5O_4^4 \right) + \frac{1}{32} \left(\frac{13}{\pi} \right)^{\frac{1}{2}} D_6^* \gamma \langle r^6 \rangle \left(O_6^0 - 21O_4^6 \right)$$

Definindo,

$$B_4 = \frac{3}{16} \left(\frac{1}{\pi} \right)^{\frac{1}{2}} D_4^* \beta \langle r^4 \rangle \quad \text{e} \quad B_6 = \frac{1}{32} \left(\frac{13}{\pi} \right)^{\frac{1}{2}} D_6^* \gamma \langle r^6 \rangle$$

Os coeficientes B_4 e B_6 são fatores que determinam a escala do *splitting* do campo cristalino.

São funções lineares de $\langle r^4 \rangle$ e $\langle r^6 \rangle$, o raio médio na quarta e sexta potência dos elétrons magnéticos.

• Efeitos do Campo Cristalino (CEF)

Temos então

que,

$$H_c = B_4 \left(O_4^0 + 5 \cdot O_4^4 \right) + B_6 \left(O_6^0 - 21 \cdot O_6^4 \right)$$

Onde,

	B_4	B_6
Octaedro	$+ \frac{7}{16} \frac{Ze^2}{R^5} \beta \langle r^4 \rangle$	$+ \frac{3}{64} \frac{Ze^2}{R^7} \gamma \langle r^6 \rangle$
Cubo	$- \frac{7}{18} \frac{Ze^2}{R^5} \beta \langle r^4 \rangle$	$+ \frac{1}{9} \frac{Ze^2}{R^7} \gamma \langle r^6 \rangle$
Tetraedro	$- \frac{7}{36} \frac{Ze^2}{R^5} \beta \langle r^4 \rangle$	$+ \frac{1}{18} \frac{Ze^2}{R^7} \gamma \langle r^6 \rangle$

• Efeitos do Campo Cristalino (CEF)

$$H_c = B_4 F(4) \frac{O_4}{F(4)} + B_6 F(6) \frac{O_6}{F(6)}$$

Onde,

$$O_4 = [O_4^0 + 5 \cdot O_4^4] \quad \text{e} \quad O_6 = [O_6^0 - 21 \cdot O_6^4]$$

Ce ($J = 5/2$)

$$\left\langle J = \frac{5}{2}; J_z \middle| O_4^0 \middle| J = \frac{5}{2}; J_z \right\rangle$$

$$-\frac{5}{2} \leq J_z \leq +\frac{5}{2}$$

$$O_6 = 0$$

$$O_4 = 60 \begin{pmatrix} & |J_z = +5/2\rangle & |J_z = +3/2\rangle & |J_z = +1/2\rangle & |J_z = -1/2\rangle & |J_z = -3/2\rangle & |J_z = -5/2\rangle \\ \langle J_z = +5/2 | & 1 & 0 & 0 & 0 & \sqrt{5} & 0 \\ \langle J_z = +3/2 | & 0 & -3 & 0 & 0 & 0 & \sqrt{5} \\ \langle J_z = +1/2 | & 0 & 0 & 2 & 0 & 0 & 0 \\ \langle J_z = -1/2 | & 0 & 0 & 0 & 2 & 0 & 0 \\ \langle J_z = -3/2 | & \sqrt{5} & 0 & 0 & 0 & -3 & 0 \\ \langle J_z = -5/2 | & 0 & \sqrt{5} & 0 & 0 & 0 & 1 \end{pmatrix}$$

Diagonalizando a matriz O_4 , obtemos:

$$AVA : \{-4, -4, 2, 2, 2, 2\}$$

$$AVE : \left\{0, -\sqrt{5}, 0, 0, 0, 1\right\}, \left\{-\frac{1}{\sqrt{5}}, 0, 0, 0, 1, 0\right\}, \left\{0, \frac{1}{\sqrt{5}}, 0, 0, 0, 1\right\},$$

$$\left\{\sqrt{5}, 0, 0, 0, 1, 0\right\}, \left\{0, 0, 0, 1, 0, 0\right\}, \left\{0, 0, 0, 0, 0, 0\right\}$$

• Efeitos do Campo Cristalino (CEF)

$$J = \frac{5}{2} \left[\begin{array}{l} \Gamma_7 \left[\begin{array}{l} \alpha = \frac{1}{\sqrt{6}} \left\{ \left| \frac{5}{2} \right\rangle - \sqrt{5} \left| -\frac{3}{2} \right\rangle \right\} \\ \beta = \frac{1}{\sqrt{6}} \left\{ \left| -\frac{5}{2} \right\rangle - \sqrt{5} \left| \frac{3}{2} \right\rangle \right\} \end{array} \right] \\ \left| \frac{\tilde{3}}{2} \right\rangle = -\frac{1}{\sqrt{6}} \left\{ \left| \frac{3}{2} \right\rangle + \sqrt{5} \left| -\frac{5}{2} \right\rangle \right\} \\ \left| \frac{\tilde{1}}{2} \right\rangle = \left| \frac{1}{2} \right\rangle \\ \Gamma_8 \left[\begin{array}{l} \left| -\frac{\tilde{1}}{2} \right\rangle = -\left| -\frac{1}{2} \right\rangle \\ \left| -\frac{\tilde{3}}{2} \right\rangle = \frac{1}{\sqrt{6}} \left\{ \left| -\frac{3}{2} \right\rangle + \sqrt{5} \left| \frac{5}{2} \right\rangle \right\} \end{array} \right] \end{array} \right]$$

Os autovetores podem ser descritos como Γ_s que são representações irreduutivas do grupo de simetria cúbica.

• Efeitos do Campo Cristalino (CEF)

Reescrevendo o hamiltoniano em função de $F(4)$ e $F(6)$, que representam os elementos comuns a todas as matrizes:

$$H_c = B_4 F(4) \frac{O_4}{F(4)} + B_6 F(6) \frac{O_6}{F(6)}$$

Onde,

$$O_4 = [O_4^0 + 5 \cdot O_4^4] \quad \text{e} \quad O_6 = [O_6^0 - 21 \cdot O_6^4]$$

Definindo,

$$B_4 F(4) = Wx$$

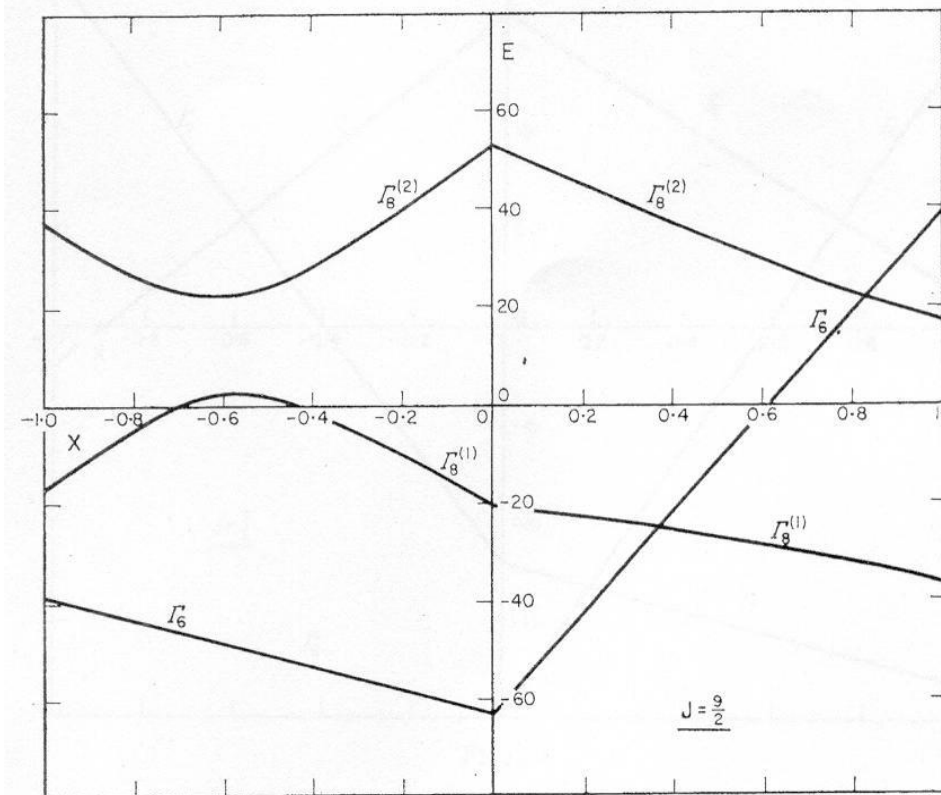
$$B_6 F(6) = W(1 - |x|) \qquad \qquad W \text{ é um fator de escala}$$

Onde, $-1 < x < +1$

• Efeitos do Campo Cristalino (CEF)

O hamiltoniano pode ser escrito como:

$$H_c = W \left[x \left(\frac{O_4}{F(4)} \right) + (1 - |x|) \left(\frac{O_6}{F(6)} \right) \right]$$



• Efeitos do Campo Cristalino (CEF)

➤ Anomalia de Schottky em Cp

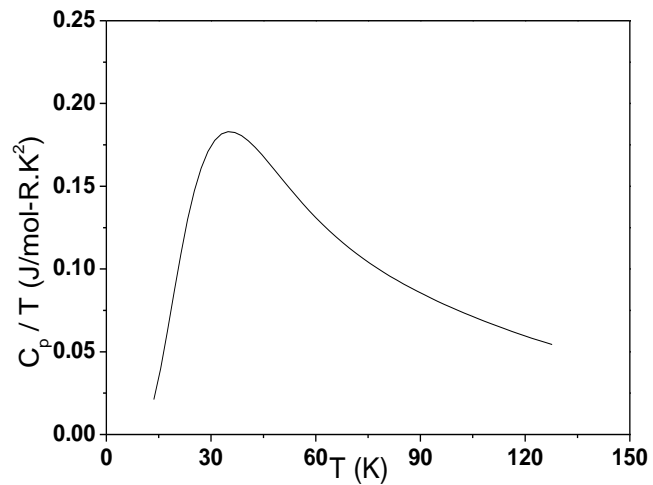
$$Z(\beta) = \sum_r g_r e^{-\varepsilon_r \beta}$$

$$E = -\frac{\partial}{\partial \beta} \ln Z \rightarrow E = \frac{N \sum_{r=0}^m \varepsilon_r g_r e^{-\varepsilon_r \beta}}{\sum_{r=0}^m g_r e^{-\varepsilon_r \beta}}$$

$$C = \frac{\partial E}{\partial T} = \frac{\partial \beta}{\partial T} \frac{\partial E}{\partial \beta}$$

$$\delta = \frac{\varepsilon_1}{k}$$

Energia de separação

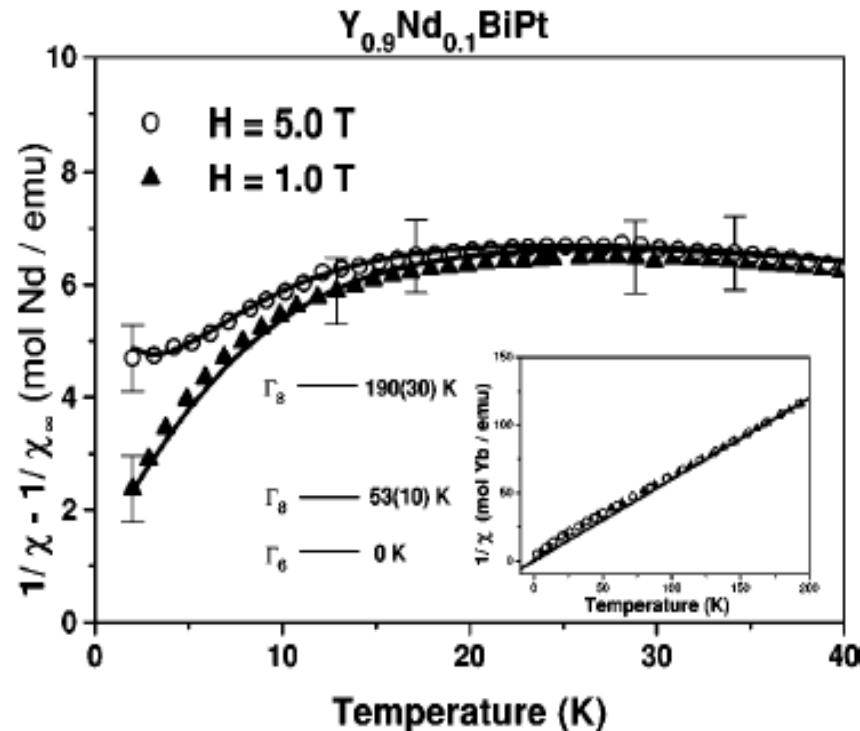


$$C = R \frac{\frac{g_1}{g_0} \delta^2 e^{-\frac{\delta}{T}}}{T^2 \left(\frac{g_1}{g_0} + e^{-\frac{\delta}{T}} \right)}$$

Para um sistema de dois níveis

• Efeitos do Campo Cristalino (CEF)

➤ Susceptibilidade magnética



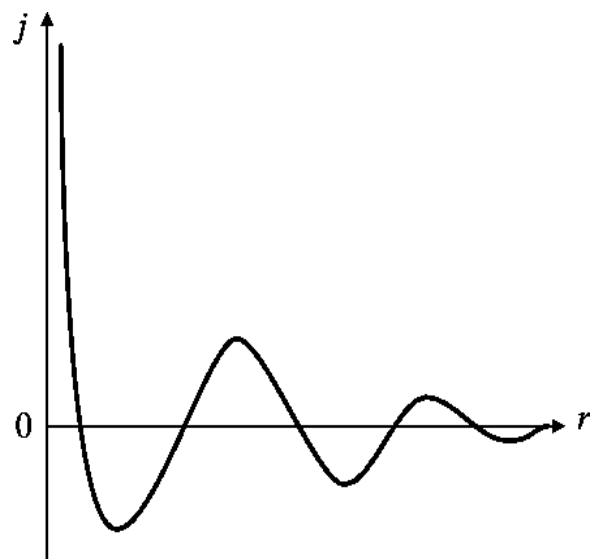
P. G. Pagliuso et al. *PRB* **60**
4176.

$$H_c = B_4 \left(O_4^0 + 5 \cdot O_4^4 \right) + B_6 \left(O_6^0 - 21 \cdot O_6^4 \right) + g_J \mu_B H \cdot J$$

$$\chi = \frac{g_J \mu_B \sum_n \exp\left(-\frac{E_n}{kT}\right) \sum_{M=-J}^J |C_M^n|^2 M}{H \cdot \sum_n \exp\left(-\frac{E_n}{kT}\right)}.$$

Como os momentos magnéticos dos íons de terra rara estão localizados na camada 4f, uma interação direta, pela superposição de funções do onda, é pequena.

Portanto, em geral uma interação indireta, mediada por outros orbitais eletrônicos ou por elétrons de condução (em matriz metálica), é responsável pelo acoplamento magnético.



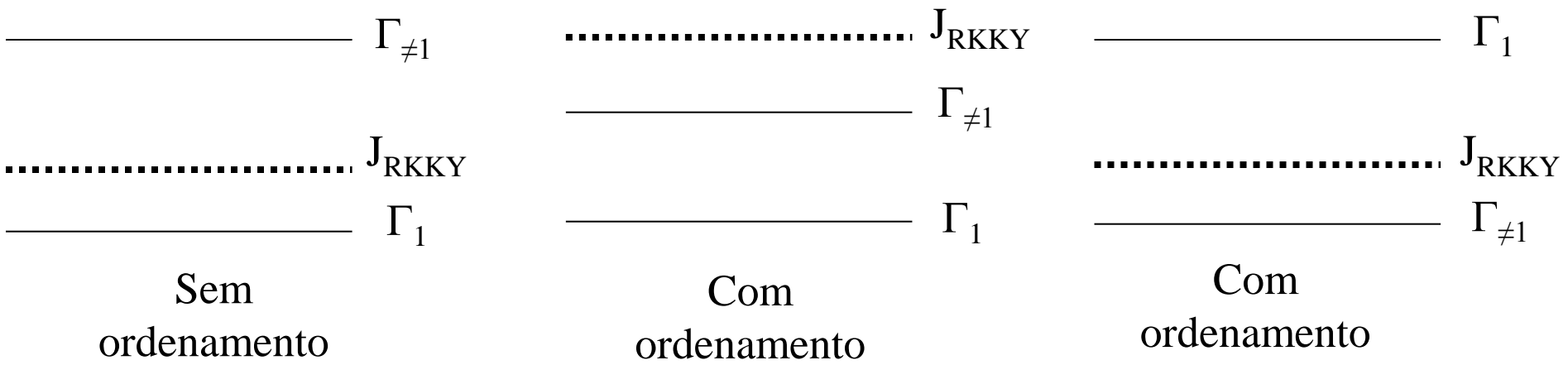
$$J_{RKKY} \propto \frac{\cos(2k_F t)}{r^3}$$

Íons que possuem J semi-inteiro pela regra de Kramer têm necessariamente no mínimo um estado dubletado, provocado pelo *splitting* de campo cristalino.

Porém, íons que possuem J inteiro podem ter um singuleto, que é um estado não magnético ($S = 0$), no estado fundamental.

As interações magnéticas são dependentes de momentos magnéticos e por isso estados com $S = 0$ não apresentam qualquer acoplamento.

- **Interações Magnéticas RKKY**

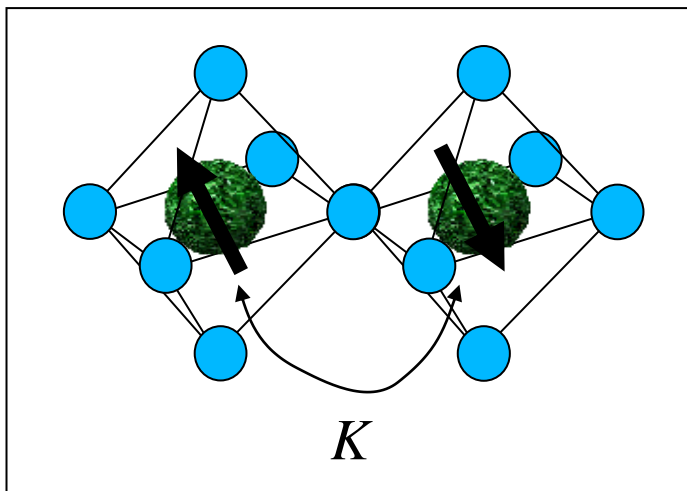


- **Efeitos do Campo Cristalino (CEF)**

- **O modelo: Interações Magnéticas e Efeitos de Campo Cristalino**

Interações Magnéticas RKKY: $K \vec{J}_i \cdot \vec{J}_j$

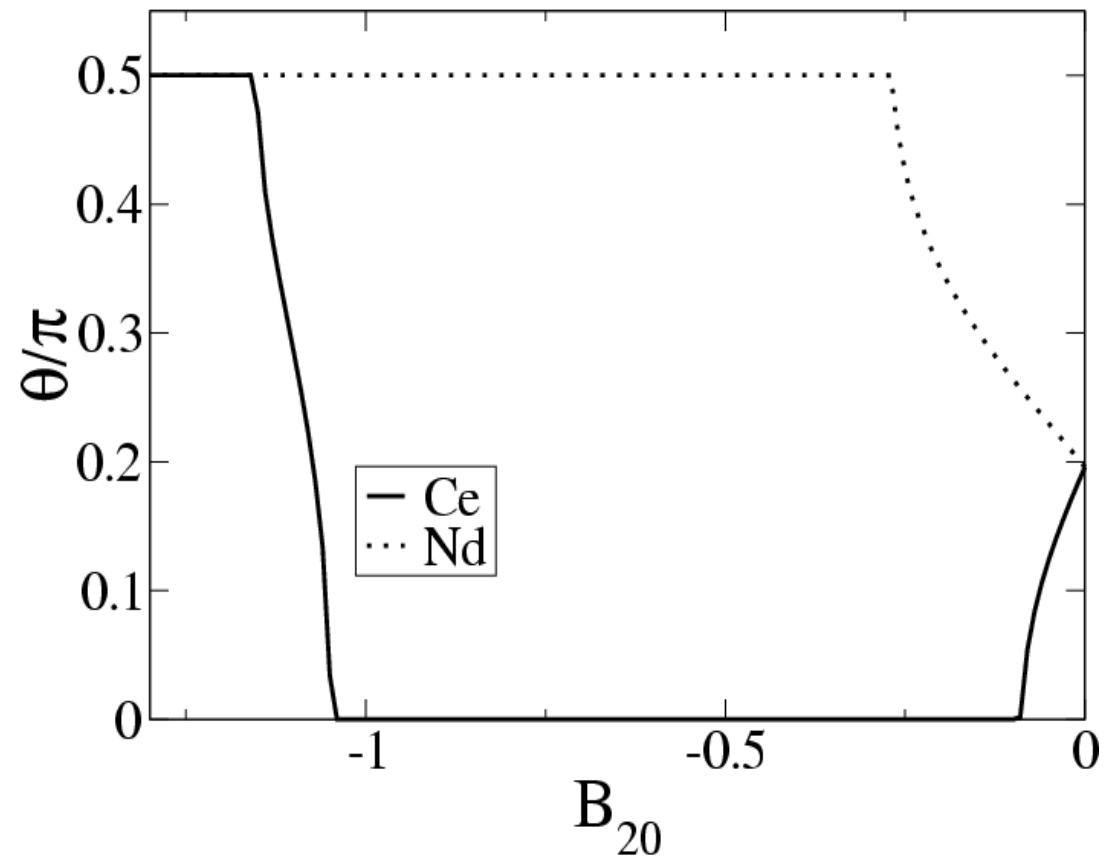
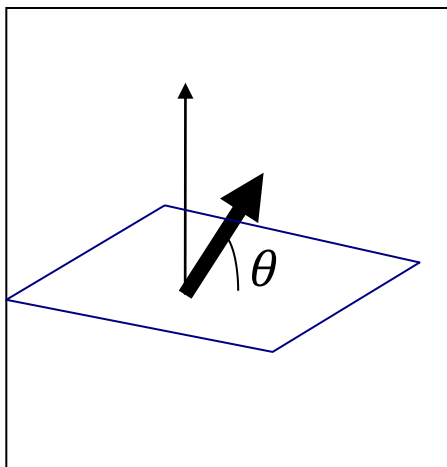
Interação de Campo Cristalino: $B_{20} O_{20} + B_{40} O_{40} + B_{44} O_{44}$



• Efeitos do Campo Cristalino (CEF)

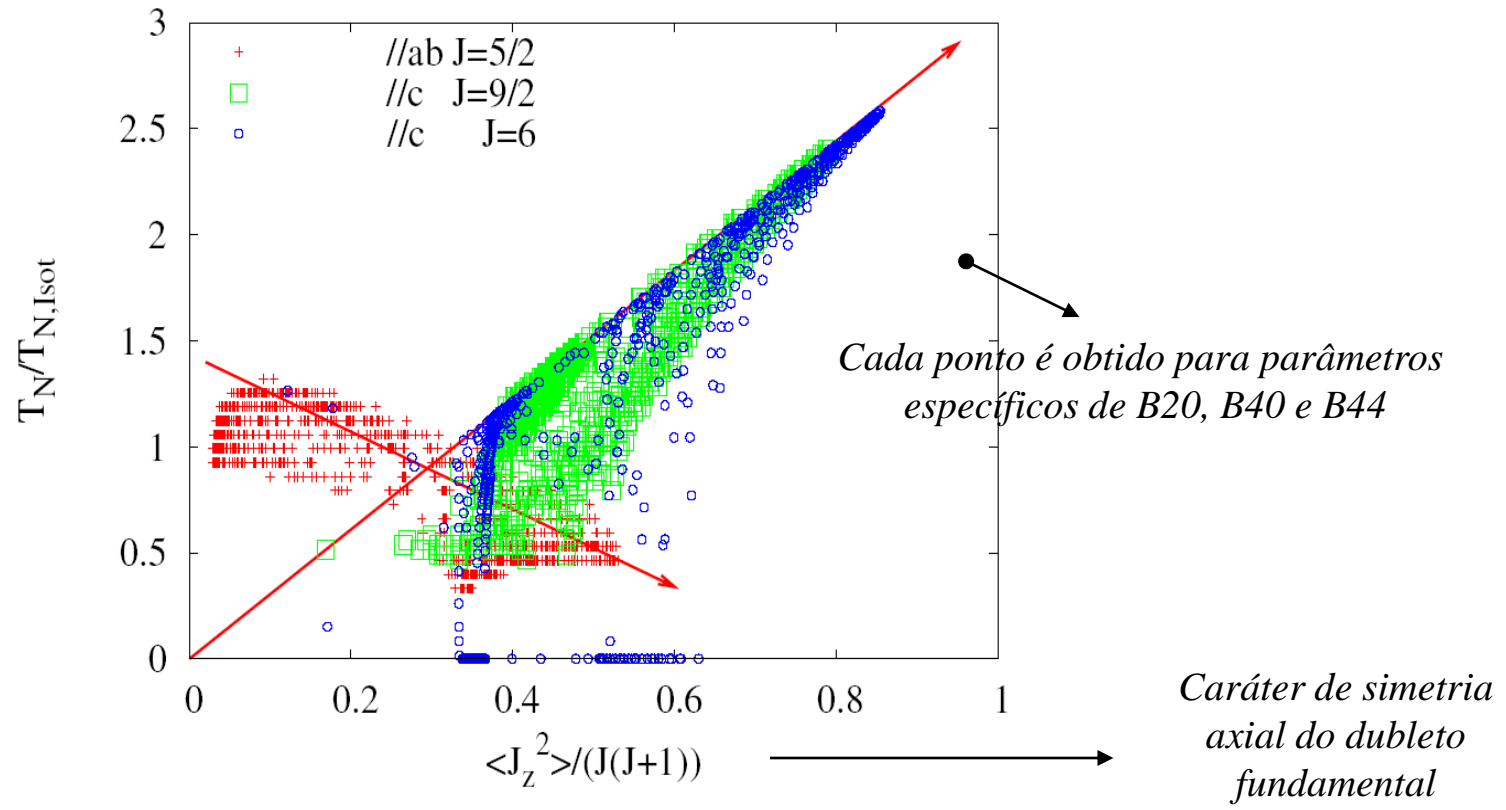
Efeitos de Campo Cristalino: $B_{20}O_{20} + B_{40}O_{40} + B_{44}O_{44}$

Resultados para
($B_{44}=5B_{40}=0.25\text{meV}$)



• Efeitos do Campo Cristalino (CEF)

Efeitos de interação sobre a temperatura de ordem T_N :



P. G. Pagliuso, D. Garcia, E. Miranda, et al. *J. App. Phys.* **99** (2006)